

理科综合

理科综合 第Ⅰ页(共11页)

第Ⅰ卷(选择题,共126分)

D	观察植物细胞中的叶绿体 茎叶片
C	T ₂ 噬菌体侵染大肠杆菌 大肠杆菌
B	探究PH对酶活性的影响 H ₂ O ₂ 和过氧化氢酶 淀粉酶溶液
A	用斐林试剂还原糖 斐林试剂 溴麝香草酚蓝水溶液

进行替换,下列替换组合合理的是

2. 科学探究过程中正确的实验设计有助于达到实验目的。某兴趣小组根据部分实验的材料

D. 细胞质与细胞质膜通过载体孔自由进出物质交换

C. 红细胞表面蛋白与载体的比例过大有利于物质交换

B. 红细胞表面蛋白与载体的比例过低不利于物质交换

A. 红细胞上的蛋白质可影响细胞内外的物质交换

1. 组织内出现间能发生某些物质的交换,对细胞正常进行生命活动十分必要。下列叙述错误

目可能的。

一、选择题:本题共13个小题,每小题6分。在每小题给出的四个选项中,只有一项是符合题意

的。

11. 下列设计的实验装置能达到实验目的的是
- A. 表皿—2电势能率为0,则I—2和I—3均为正极子
- B. 表皿—2为负极且通电,则II—1可能是该电池的负极
- C. 表皿—2为负极且通电,则该电池在蓄电池负极上
- D. 表皿—2为负极且通电,则II—1可能是该电池的负极



6. 下图是某单基因遗传病的系谱图,不考虑突变,家系成员交互互换等情况下,下列分析错误的是

D. 若图X发生突变后推导出的肽链可能会改变

C. 第80位和第82位的氨基酸相同但密码子不同

B. 图示所示的单链是基因X进行转录时的模板链

A. 该链含有可能改变密码子的氨基酸序列

10. 某种微生物生长速率与外界电子摄入量为10,下列说法错误的是

A. 甲、丙两组的化合价降低态不带电

B. 乙、丙两组的还原态电子数之和为10,下列表述错误的是

D. 100g质量分数为16%的乙酸溶液中含有O—H键数目为0.1N_A

C. 1.0L 0.1 mol/L一元酸HA液中含有的质子数大于N_A

B. 酸浓度为2.2 L NO₂中含有的质子数大于3N_A

A. 56 g E与1.0 mol C₆H₆反应,转移电子数目为3N_A

9. 某种N_A与同体积等物质的量的Na₂HCO₃反应生成气体的体积比为2:1

D. 其摩尔质量上的一次取代仅有2种

C. 该物质分子与足量 Na₂和 NaHCO₃反应生成气体的体积比为2:1

B. 该物质分子所含原子可形成共价键

A. 该物质在一定条件下可以发生聚合反应

8. 具有羟基中间体的结构简式为 HO-C₆H₄-COOH。下列有关分析正确的是

D. 通过“质谱”可得到不同同源物的相对分子质量

C. 在图中“质谱”操作是将通过质谱仪分离出来,进而和母离子带电荷量(差)与母离子

B. “质谱”材料中只含金属元素

A. 其组成元素的含量较少

4. 银屑病患者细胞膜上识别的递质称为趋化因子,由白细胞产生的趋化因子为白细胞介素

C. H₂从患者细胞膜到患者细胞内的跨膜方式为主动运输

B. 载体蛋白与H₂结合后,会促进其空间构象发生变化

A. 该载体蛋白具有运输H₂,也能催化ATP水解的作用

3. 健康人血液中的乳酸脱氢酶,下列叙述错误的是

贫血后,缺铁蛋白会促使ATP水解,即使H₂运输到膜外,ATP水解产生的Pi与载体蛋白结

合,会促使载体蛋白的空间构象改变,下列叙述错误的是

7. 氯霉素抗药是我国著名的氨基糖苷类抗生素之一,其特点是小

剂量、高浓度时先与人畜组织相容性,发挥后进行“量质效

效”。以加恩斯的生谈“大错”把头撕出后,泣涕涟涟,



7. 氯霉素抗药是我国著名的氨基糖苷类抗生素。其特点之一是在小

剂量、高浓度时先与人畜组织相容性,发挥后进行“量质效

效”。以加恩斯的生谈“大错”把头撕出后,泣涕涟涟,

剂量、高浓度时先与人畜组织相容性,发挥后进行“量质效

效”。以加恩斯的生谈“大错”把头撕出后,泣涕涟涟,

剂量、高浓度时先与人畜组织相容性,发挥后进行“量质效

效”。以加恩斯的生谈“大错”把头撕出后,泣涕涟涟,

剂量、高浓度时先与人畜组织相容性,发挥后进行“量质效

效”。以加恩斯的生谈“大错”把头撕出后,泣涕涟涟,

剂量、高浓度时先与人畜组织相容性,发挥后进行“量质效

1. 借助显微镜和非选择器部分,填写(选择题)至5页,第Ⅱ卷(非选择题)6至

2. 借助于所给的字母,将字母写在答题卡规定的位数上。

3. 在图示操作时,必须使用0.5毫克溴麝香草酚蓝,将其装在答题卡规定的位数上。

4. 所用器具必须放在培养卡上作答,在答题卡上答题无效。

5. 将结果写在答题卡上作答,在答题卡上答题无效。

6. 可能用到的相对原子质量:H—1 C—12 O—16 Cl—35.5 Na—23 Fe—56

7. 本试卷分选择题和非选择题两部分,第Ⅰ卷(选择题)至5页,第Ⅱ卷(非选择题)6至

1. 借助显微镜和非选择器部分,填写(选择题)至5页,第Ⅱ卷(非选择题)6至

2. 借助于所给的字母,将字母写在答题卡规定的位数上。

3. 在图示操作时,必须使用0.5毫克溴麝香草酚蓝,将其装在答题卡规定的位数上。

4. 所用器具必须放在培养卡上作答,在答题卡上答题无效。

5. 将结果写在答题卡上作答,在答题卡上答题无效。

6. 可能用到的相对原子质量:H—1 C—12 O—16 Cl—35.5 Na—23 Fe—56

② 所制产品中可能含有 FeCl_3 杂质，检验 FeCl_3 的试剂为 _____ (填写化学式或序号)；产生

① 所制产品的纯度为 _____ (以无水 FeCl_3 质量分数表示,保留三位有效数字)；

_____ H_2O + SO_2)，经三次平行实验，平均消耗 $\text{Na_2}\text{S}_2\text{O}_3$ 溶液 19.00 mL。

(5) 称取 3.250 g 产品试样,配制 100.00 mL 溶液,取 20.00 mL 于锥形瓶中,加入足量 $\text{KI} + \text{S}\text{O}_2$

溶液,经充分反应后,滴入淀粉溶液 3~5 滴,然后用 0.2000 mol · L⁻¹ $\text{Na_2}\text{S}_2\text{O}_3$ 溶液滴定 (1) FeCl_3

与反应中的黑色沉淀完全溶解时所消耗的 $\text{Na_2}\text{S}_2\text{O}_3$ 溶液的体积为 _____ mL。

III. 产品纯度测定

FeCl_3 的总化学方程式为 _____ ; 仪器 A 的作用是 _____ 。

(4) 按右图装置进行实验。锥形瓶中生成无水 SO_2 和 HCl 。

已知 $\text{SO}_2 + \text{H}_2\text{O} \rightarrow \text{H}_2\text{SO}_4$, 沸点 156°C, 露点 77°C, 易水解生成

(3) 滴加 10% 反应液时,滴加速率过快会产生气泡。该气泡为 _____ 。

(2) 控制温度在 40~50°C 的原因是 _____ 。

(1) 用 NaOH 溶液洗涤装置的目的 是 _____ 。

回答下列问题:

④ 将溶液转移到蒸发皿中,加热浓缩,慢慢冷却至大量晶体析出,抽滤,洗涤。

③ 向溶液中逐滴加入 10% 反应液,同时加入 25% 盐酸,充分搅拌至溶液呈黄色。

② 将溶液后逐滴再加入 20% 盐酸,控制温度在 40~50°C 之间,至反应完毕,过滤。

① 将废装置加入 30% NaOH 溶液中,煮沸 30 分钟,过滤,洗涤 2~3 次。

I. $\text{FeCl}_3 \cdot 6\text{H}_2\text{O}$ 制备

实验室用废装置取无水氯化镁并测其纯度。实验方案如下:

26. (14 分)

(3) 若粒子仍以速度 v_0 从 O 点直入 AD 人射并开始计时,第一次经 M 点离开电场后立即撤

去电场,求粒子通过 N 点时刻的可能值。

(2) 若仅改变粒子入射速度的大小,求粒子从 AB 进入磁场到再次从 AB 离开磁场经历

时间的最长时间 t_{\max} ;

(1) 求电场强度 E 的大小;

BC = AM = DN = 2L, AB = CD = $2\sqrt{3}L$, 不计粒子重力, 磁场范

围足够大。

如图,在 ABCD 区域内外分别存在竖直向上的匀强电场和

垂直于纸面(坚直面)向里的匀强磁场。电荷量为 q ($q > 0$), 质

量为 m 的粒子以速度 v_0 从 AD 中点 O 垂直于 AD 射入电场,

区域后,经 M 点进入磁场,并从 A 点再次进入电场。已知 AD =

_____ , 经 M 点进入磁场,并从 A 点再次进入电场。已知 AD =

_____ , 经 M 点进入磁场,并从 A 点再次进入电场。已知 AD =

_____ , 经 M 点进入磁场,并从 A 点再次进入电场。已知 AD =

_____ , 经 M 点进入磁场,并从 A 点再次进入电场。已知 AD =

_____ , 经 M 点进入磁场,并从 A 点再次进入电场。已知 AD =

_____ , 经 M 点进入磁场,并从 A 点再次进入电场。已知 AD =

_____ , 经 M 点进入磁场,并从 A 点再次进入电场。已知 AD =

_____ , 经 M 点进入磁场,并从 A 点再次进入电场。已知 AD =

_____ , 经 M 点进入磁场,并从 A 点再次进入电场。已知 AD =

_____ , 经 M 点进入磁场,并从 A 点再次进入电场。已知 AD =

_____ , 经 M 点进入磁场,并从 A 点再次进入电场。已知 AD =

_____ , 经 M 点进入磁场,并从 A 点再次进入电场。已知 AD =

_____ , 经 M 点进入磁场,并从 A 点再次进入电场。已知 AD =

_____ , 经 M 点进入磁场,并从 A 点再次进入电场。已知 AD =

_____ , 经 M 点进入磁场,并从 A 点再次进入电场。已知 AD =

_____ , 经 M 点进入磁场,并从 A 点再次进入电场。已知 AD =

_____ , 经 M 点进入磁场,并从 A 点再次进入电场。已知 AD =

_____ , 经 M 点进入磁场,并从 A 点再次进入电场。已知 AD =

_____ , 经 M 点进入磁场,并从 A 点再次进入电场。已知 AD =

_____ , 经 M 点进入磁场,并从 A 点再次进入电场。已知 AD =

_____ , 经 M 点进入磁场,并从 A 点再次进入电场。已知 AD =

_____ , 经 M 点进入磁场,并从 A 点再次进入电场。已知 AD =

_____ , 经 M 点进入磁场,并从 A 点再次进入电场。已知 AD =

_____ , 经 M 点进入磁场,并从 A 点再次进入电场。已知 AD =

_____ , 经 M 点进入磁场,并从 A 点再次进入电场。已知 AD =

_____ , 经 M 点进入磁场,并从 A 点再次进入电场。已知 AD =

_____ , 经 M 点进入磁场,并从 A 点再次进入电场。已知 AD =

_____ , 经 M 点进入磁场,并从 A 点再次进入电场。已知 AD =

_____ , 经 M 点进入磁场,并从 A 点再次进入电场。已知 AD =

_____ , 经 M 点进入磁场,并从 A 点再次进入电场。已知 AD =

_____ , 经 M 点进入磁场,并从 A 点再次进入电场。已知 AD =

_____ , 经 M 点进入磁场,并从 A 点再次进入电场。已知 AD =

_____ , 经 M 点进入磁场,并从 A 点再次进入电场。已知 AD =

_____ , 经 M 点进入磁场,并从 A 点再次进入电场。已知 AD =

_____ , 经 M 点进入磁场,并从 A 点再次进入电场。已知 AD =

_____ , 经 M 点进入磁场,并从 A 点再次进入电场。已知 AD =

_____ , 经 M 点进入磁场,并从 A 点再次进入电场。已知 AD =

_____ , 经 M 点进入磁场,并从 A 点再次进入电场。已知 AD =

_____ , 经 M 点进入磁场,并从 A 点再次进入电场。已知 AD =

_____ , 经 M 点进入磁场,并从 A 点再次进入电场。已知 AD =

_____ , 经 M 点进入磁场,并从 A 点再次进入电场。已知 AD =

_____ , 经 M 点进入磁场,并从 A 点再次进入电场。已知 AD =

_____ , 经 M 点进入磁场,并从 A 点再次进入电场。已知 AD =

_____ , 经 M 点进入磁场,并从 A 点再次进入电场。已知 AD =

_____ , 经 M 点进入磁场,并从 A 点再次进入电场。已知 AD =

_____ , 经 M 点进入磁场,并从 A 点再次进入电场。已知 AD =

_____ , 经 M 点进入磁场,并从 A 点再次进入电场。已知 AD =

_____ , 经 M 点进入磁场,并从 A 点再次进入电场。已知 AD =

_____ , 经 M 点进入磁场,并从 A 点再次进入电场。已知 AD =

_____ , 经 M 点进入磁场,并从 A 点再次进入电场。已知 AD =

_____ , 经 M 点进入磁场,并从 A 点再次进入电场。已知 AD =

_____ , 经 M 点进入磁场,并从 A 点再次进入电场。已知 AD =

_____ , 经 M 点进入磁场,并从 A 点再次进入电场。已知 AD =

_____ , 经 M 点进入磁场,并从 A 点再次进入电场。已知 AD =

_____ , 经 M 点进入磁场,并从 A 点再次进入电场。已知 AD =

_____ , 经 M 点进入磁场,并从 A 点再次进入电场。已知 AD =

_____ , 经 M 点进入磁场,并从 A 点再次进入电场。已知 AD =

_____ , 经 M 点进入磁场,并从 A 点再次进入电场。已知 AD =

_____ , 经 M 点进入磁场,并从 A 点再次进入电场。已知 AD =

_____ , 经 M 点进入磁场,并从 A 点再次进入电场。已知 AD =

_____ , 经 M 点进入磁场,并从 A 点再次进入电场。已知 AD =

_____ , 经 M 点进入磁场,并从 A 点再次进入电场。已知 AD =

_____ , 经 M 点进入磁场,并从 A 点再次进入电场。已知 AD =

_____ , 经 M 点进入磁场,并从 A 点再次进入电场。已知 AD =

_____ , 经 M 点进入磁场,并从 A 点再次进入电场。已知 AD =

_____ , 经 M 点进入磁场,并从 A 点再次进入电场。已知 AD =

_____ , 经 M 点进入磁场,并从 A 点再次进入电场。已知 AD =

_____ , 经 M 点进入磁场,并从 A 点再次进入电场。已知 AD =

_____ , 经 M 点进入磁场,并从 A 点再次进入电场。已知 AD =

_____ , 经 M 点进入磁场,并从 A 点再次进入电场。已知 AD =

_____ , 经 M 点进入磁场,并从 A 点再次进入电场。已知 AD =

_____ , 经 M 点进入磁场,并从 A 点再次进入电场。已知 AD =

_____ , 经 M 点进入磁场,并从 A 点再次进入电场。已知 AD =

_____ , 经 M 点进入磁场,并从 A 点再次进入电场。已知 AD =

_____ , 经 M 点进入磁场,并从 A 点再次进入电场。已知 AD =

_____ , 经 M 点进入磁场,并从 A 点再次进入电场。已知 AD =

_____ , 经 M 点进入磁场,并从 A 点再次进入电场。已知 AD =

_____ , 经 M 点进入磁场,并从 A 点再次进入电场。已知 AD =

_____ , 经 M 点进入磁场,并从 A 点再次进入电场。已知 AD =

_____ , 经 M 点进入磁场,并从 A 点再次进入电场。已知 AD =

_____ , 经 M 点进入磁场,并从 A 点再次进入电场。已知 AD =

_____ , 经 M 点进入磁场,并从 A 点再次进入电场。已知 AD =

_____ , 经 M 点进入磁场,并从 A 点再次进入电场。已知 AD =

_____ , 经 M 点进入磁场,并从 A 点再次进入电场。已知 AD =

_____ , 经 M 点进入磁场,并从 A 点再次进入电场。已知 AD =

_____ , 经 M 点进入磁场,并从 A 点再次进入电场。已知 AD =

_____ , 经 M 点进入磁场,并从 A 点再次进入电场。已知 AD =

_____ , 经 M 点进入磁场,并从 A 点再次进入电场。已知 AD =

_____ , 经 M 点进入磁场,并从 A 点再次进入电场。已知 AD =

_____ , 经 M 点进入磁场,并从 A 点再次进入电场。已知 AD =

_____ , 经 M 点进入磁场,并从 A 点再次进入电场。已知 AD =

_____ , 经 M 点进入磁场,并从 A 点再次进入电场。已知 AD =

_____ , 经 M 点进入磁场,并从 A 点再次进入电场。已知 AD =

_____ , 经 M 点进入磁场,并从 A 点再次进入电场。已知 AD =

_____ , 经 M 点进入磁场,并从 A 点再次进入电场。已知 AD =

_____ , 经 M 点进入磁场,并从 A 点再次进入电场。已知 AD =

_____ , 经 M 点进入磁场,并从 A 点再次进入电场。已知 AD =

_____ , 经 M 点进入磁场,并从 A 点再次进入电场。已知 AD =

_____ , 经 M 点进入磁场,并从 A 点再次进入电场。已知 AD =

_____ , 经 M 点进入磁场,并从 A 点再次进入电场。已知 AD =

_____ , 经 M 点进入磁场,并从 A 点再次进入电场。已知 AD =

_____ , 经 M 点进入磁场,并从 A 点再次进入电场。已知 AD =

_____ , 经 M 点进入磁场,并从 A 点再次进入电场。已知 AD =

_____ , 经 M 点进入磁场,并从 A 点再次进入电场。已知 AD =

_____ , 经 M 点进入磁场,并从 A 点再次进入电场。已知 AD =

_____ , 经 M 点进入磁场,并从 A 点再次进入电场。已知 AD =

_____ , 经 M 点进入磁场,并从 A 点再次进入电场。已知 AD =

_____ , 经 M 点进入磁场,并从 A 点再次进入电场。已知 AD =

图(a)所示方案:闭合开关,调节电调谐电容,记录下微安表、电压表、电流表示数如图所示。(填“大于”、“小于”或“等于”)
I = $2.00R + 4126$ 则根据此函数关系式可计算出该滑动变阻器的电动势为 _____ V, 内阻为 _____ Ω。
图(b)所示方案:利用计算机软件描绘出图(d)中实线甲所示,其拟合出的函数关系式为

利用计算机软件描绘出图(d)中实线乙所示,其拟合出的函数关系式为
 $\frac{1}{R} = \frac{1}{R_0} + \frac{1}{R_s} \ln \left(\frac{U}{U_s} \right)$ 其中 R_s 为滑动变阻器的电动势, R_0 为滑动变阻器的内阻, U 为滑动变阻器两端的电压, U_s 为滑动变阻器的额定电压。
图(c)所示方案:用图(c)所示方程计算出该滑动变阻器的电动势为 _____ (填“大于”、“等于”或“小于”)
图(d)所示方案:用图(d)所示方程计算出该滑动变阻器的电动势为 _____ (填“大于”、“等于”或“小于”)
“有”或“无”明显的偏转。

(3) 用图(c)所示方案,闭合开关,调节电调谐电容,记录下微安表和电压表示数如图所示:
“水果电池”的电动势为 _____ V, 内阻为 _____ Ω。
图(e)所示方案:用图(e)所示方程计算出该水果电池的电动势为 _____ V, 内阻为 _____ Ω。
图(f)所示方案:用图(f)所示方程计算出该水果电池的电动势为 _____ V, 内阻为 _____ Ω。
图(g)所示方案:用图(g)所示方程计算出该水果电池的电动势为 _____ V, 内阻为 _____ Ω。
图(h)所示方案:用图(h)所示方程计算出该水果电池的电动势为 _____ V, 内阻为 _____ Ω。
图(i)所示方案:用图(i)所示方程计算出该水果电池的电动势为 _____ V, 内阻为 _____ Ω。
图(j)所示方案:用图(j)所示方程计算出该水果电池的电动势为 _____ V, 内阻为 _____ Ω。
图(k)所示方案:用图(k)所示方程计算出该水果电池的电动势为 _____ V, 内阻为 _____ Ω。
图(l)所示方案:用图(l)所示方程计算出该水果电池的电动势为 _____ V, 内阻为 _____ Ω。
图(m)所示方案:用图(m)所示方程计算出该水果电池的电动势为 _____ V, 内阻为 _____ Ω。
图(n)所示方案:用图(n)所示方程计算出该水果电池的电动势为 _____ V, 内阻为 _____ Ω。
图(o)所示方案:用图(o)所示方程计算出该水果电池的电动势为 _____ V, 内阻为 _____ Ω。
图(p)所示方案:用图(p)所示方程计算出该水果电池的电动势为 _____ V, 内阻为 _____ Ω。
图(q)所示方案:用图(q)所示方程计算出该水果电池的电动势为 _____ V, 内阻为 _____ Ω。
图(r)所示方案:用图(r)所示方程计算出该水果电池的电动势为 _____ V, 内阻为 _____ Ω。
图(s)所示方案:用图(s)所示方程计算出该水果电池的电动势为 _____ V, 内阻为 _____ Ω。
图(t)所示方案:用图(t)所示方程计算出该水果电池的电动势为 _____ V, 内阻为 _____ Ω。
图(u)所示方案:用图(u)所示方程计算出该水果电池的电动势为 _____ V, 内阻为 _____ Ω。
图(v)所示方案:用图(v)所示方程计算出该水果电池的电动势为 _____ V, 内阻为 _____ Ω。
图(w)所示方案:用图(w)所示方程计算出该水果电池的电动势为 _____ V, 内阻为 _____ Ω。
图(x)所示方案:用图(x)所示方程计算出该水果电池的电动势为 _____ V, 内阻为 _____ Ω。
图(y)所示方案:用图(y)所示方程计算出该水果电池的电动势为 _____ V, 内阻为 _____ Ω。
图(z)所示方案:用图(z)所示方程计算出该水果电池的电动势为 _____ V, 内阻为 _____ Ω。
图(aa)所示方案:用图(aa)所示方程计算出该水果电池的电动势为 _____ V, 内阻为 _____ Ω。
图(bb)所示方案:用图(bb)所示方程计算出该水果电池的电动势为 _____ V, 内阻为 _____ Ω。
图(cc)所示方案:用图(cc)所示方程计算出该水果电池的电动势为 _____ V, 内阻为 _____ Ω。
图(dd)所示方案:用图(dd)所示方程计算出该水果电池的电动势为 _____ V, 内阻为 _____ Ω。
图(ee)所示方案:用图(ee)所示方程计算出该水果电池的电动势为 _____ V, 内阻为 _____ Ω。
图(ff)所示方案:用图(ff)所示方程计算出该水果电池的电动势为 _____ V, 内阻为 _____ Ω。
图(gg)所示方案:用图(gg)所示方程计算出该水果电池的电动势为 _____ V, 内阻为 _____ Ω。
图(hh)所示方案:用图(hh)所示方程计算出该水果电池的电动势为 _____ V, 内阻为 _____ Ω。
图(ii)所示方案:用图(ii)所示方程计算出该水果电池的电动势为 _____ V, 内阻为 _____ Ω。
图(jj)所示方案:用图(jj)所示方程计算出该水果电池的电动势为 _____ V, 内阻为 _____ Ω。
图(kk)所示方案:用图(kk)所示方程计算出该水果电池的电动势为 _____ V, 内阻为 _____ Ω。
图(ll)所示方案:用图(ll)所示方程计算出该水果电池的电动势为 _____ V, 内阻为 _____ Ω。
图(mm)所示方案:用图(mm)所示方程计算出该水果电池的电动势为 _____ V, 内阻为 _____ Ω。
图(nn)所示方案:用图(nn)所示方程计算出该水果电池的电动势为 _____ V, 内阻为 _____ Ω。
图(oo)所示方案:用图(oo)所示方程计算出该水果电池的电动势为 _____ V, 内阻为 _____ Ω。
图(pp)所示方案:用图(pp)所示方程计算出该水果电池的电动势为 _____ V, 内阻为 _____ Ω。
图(qq)所示方案:用图(qq)所示方程计算出该水果电池的电动势为 _____ V, 内阻为 _____ Ω。
图(rr)所示方案:用图(rr)所示方程计算出该水果电池的电动势为 _____ V, 内阻为 _____ Ω。
图(ss)所示方案:用图(ss)所示方程计算出该水果电池的电动势为 _____ V, 内阻为 _____ Ω。
图(tt)所示方案:用图(tt)所示方程计算出该水果电池的电动势为 _____ V, 内阻为 _____ Ω。
图(uu)所示方案:用图(uu)所示方程计算出该水果电池的电动势为 _____ V, 内阻为 _____ Ω。
图(vv)所示方案:用图(vv)所示方程计算出该水果电池的电动势为 _____ V, 内阻为 _____ Ω。
图(xx)所示方案:用图(xx)所示方程计算出该水果电池的电动势为 _____ V, 内阻为 _____ Ω。
图(yy)所示方案:用图(yy)所示方程计算出该水果电池的电动势为 _____ V, 内阻为 _____ Ω。
图(zz)所示方案:用图(zz)所示方程计算出该水果电池的电动势为 _____ V, 内阻为 _____ Ω。
图(aa)所示方案:用图(aa)所示方程计算出该水果电池的电动势为 _____ V, 内阻为 _____ Ω。
图(bb)所示方案:用图(bb)所示方程计算出该水果电池的电动势为 _____ V, 内阻为 _____ Ω。
图(cc)所示方案:用图(cc)所示方程计算出该水果电池的电动势为 _____ V, 内阻为 _____ Ω。
图(dd)所示方案:用图(dd)所示方程计算出该水果电池的电动势为 _____ V, 内阻为 _____ Ω。
图(ee)所示方案:用图(ee)所示方程计算出该水果电池的电动势为 _____ V, 内阻为 _____ Ω。
图(ff)所示方案:用图(ff)所示方程计算出该水果电池的电动势为 _____ V, 内阻为 _____ Ω。
图(gg)所示方案:用图(gg)所示方程计算出该水果电池的电动势为 _____ V, 内阻为 _____ Ω。
图(hh)所示方案:用图(hh)所示方程计算出该水果电池的电动势为 _____ V, 内阻为 _____ Ω。
图(ii)所示方案:用图(ii)所示方程计算出该水果电池的电动势为 _____ V, 内阻为 _____ Ω。
图(jj)所示方案:用图(jj)所示方程计算出该水果电池的电动势为 _____ V, 内阻为 _____ Ω。
图(kk)所示方案:用图(kk)所示方程计算出该水果电池的电动势为 _____ V, 内阻为 _____ Ω。
图(ll)所示方案:用图(ll)所示方程计算出该水果电池的电动势为 _____ V, 内阻为 _____ Ω。
图(mm)所示方案:用图(mm)所示方程计算出该水果电池的电动势为 _____ V,

(1)“漫银”步骤中产生的银镜主要含有 MnSO_4 , 生成气体的主要成分是 _____, 用惰性电极电解氯化镁制 MnO_2 , 写出电解总反应的化学方程式 _____。(2)如图“漫银”步骤中 $n(\text{SO}_4^{2-})$ 保持不变, 反应中 “(氯化剂) : n(还原剂) = _____; 漫银时发生反应 $2\text{FeCl}_3 + \text{Ag}_2\text{S} + \text{CaCl}_2 \rightleftharpoons 2\text{FeCl}_2 + \text{Ca}[\text{AgCl}]_2 + \text{S}$, 其中 $[\text{AgCl}]_2$ 在溶液中是一种稳定的配合物, 加入 H^+ 的作用是 _____; 结合离子方程式, 从平衡角度分析选用氯化物浓溶液的原因为 _____。(3)“漫银”时发生反应 $2\text{FeCl}_3 + \text{Ag}_2\text{S} + \text{CaCl}_2 \rightleftharpoons 2\text{FeCl}_2 + \text{Ca}[\text{AgCl}]_2 + \text{S}$, 其中 $[\text{AgCl}]_2$ 在溶液中是一种稳定的配合物, 加入 H^+ 的作用是 _____; 结合离子方程式, 从平衡角度分析选用氯化物浓溶液的原因为 _____。

(4)“漫银”步骤中, 生成单质银的离子反应方程式为 _____; 银镜经处理可再利用, 方法是向沉液中通入 _____ (写化学式), 通过一步转化后循环再用。

回答下列问题：

27. (14分) 重金属银有广泛用途。工业上用银镜精矿(主要含 Ag_2S 、 MnS 、 FeS 等)制备银, 同时获得二氯化银的沉降如下。

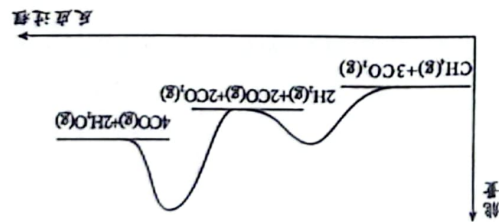
重金属银有广泛用途。工业上用银镜精矿(主要含 Ag_2S 、 MnS 、 FeS 等)制备银, 同时获得二氯化银的沉降如下。



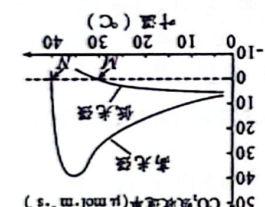
回答下列问题：

(1) 在密闭容器中分别充入 0.1 mol CH_4 与 0.3 mol CO_2 。
 $\text{CH}_4(g) + 3\text{CO}_2(g) \rightleftharpoons 4\text{CO}(g) + 2\text{H}_2\text{O}(g) \Delta H = -247 \text{ kJ} \cdot \text{mol}^{-1}$ (2) 同时提高 CH_4 与 CO_2 的平衡转化率和速率的措施是 _____。(3) 在密闭容器中分别充入 0.1 mol CH_4 与 0.3 mol CO_2 。
 $\text{CH}_4(g) + \text{CO}_2(g) \rightleftharpoons \text{CO}(g) + \text{H}_2\text{O}(g) \Delta H = +41 \text{ kJ} \cdot \text{mol}^{-1}$ (1) 在 150°C 时, 改变密闭容器的体积, 测得 CO_2 和 CH_4 平衡转化率随容器体积减小而增大的主要原因 _____。(2) 在 CO_2 平衡转化率随压强增大而减小的原因是 _____, 可能的原因是 _____。(3) 在密闭容器中两步反应过程的能量变化示意图如下:
 $\text{CH}_4 + 3\text{CO}_2 \rightleftharpoons 4\text{CO} + 2\text{H}_2\text{O}$ (I)
 $\text{CH}_4 + \text{CO}_2 \rightleftharpoons \text{CO} + \text{H}_2\text{O}$ (II)(4) 在密闭容器中液体体积比 $1:3$ 投入 CH_4 和 CO_2 , 加入催化剂, 仅发生反应(I)。经实验测出两步反应过程的能量变化示意图如下:

回答下列问题：

27. (14分) 重金属银有广泛用途。工业上用银镜精矿(主要含 Ag_2S 、 MnS 、 FeS 等)制备银, 同时获得二氯化银的沉降如下。① 在较浓溶液时, 反应物转化率较高, 但体系中 H_2O 体积分数很快, 主要原因是活化能 E_α _____ E_β (填“>”、“<”或“=”)。② 随温度升高, H_2O 的体积分数变化趋势为先增后减, 其可能原因是 _____。在两种光强强度下, 不同温度对某植物 CO_2 吸收速率的影响如图所示。回答下列问题:

29. (10分)



(1) 光照强度直接影响光合作用的光反应阶段, 该阶段进行的场所是 _____, 发生的能量转化是 _____。光合作用中的物质变化与能量变化过程, 能反映出现物质和能量之间关系的是 _____。

(2) 图中的 M 点和 N 点, 该植物的总光合作用速率 _____ (填“一定相等”或“一定不相等”或“不一定相等”), 判断的理由是 _____。

(3) 当温度低于 35°C 时, 两种光强条件下, CO_2 吸收速率的影晌如图所示。回答下列问题:

30. (8分)

① 工草方格沙障的建立使该区域土壤生物量增加, 土壤微生物大多属于分解者, 分解者在生态系统中的作用是 _____。

② 人工草方格沙障的建设使该区域土壤生物量增加, 土壤微生物大多数可以改变群落演替的 _____。

(3) 人工草方格沙障恢复土壤中的麦草等, 防治风沙外, 在土壤改良中所起的作用是 _____ (答出 2 点)。

理科综合 第 9 页(共 14 页)

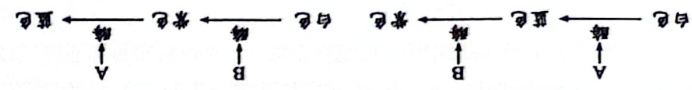
理科综合 第 10 页(共 14 页)

用：——；预期结果：——。

(3)研究人員在該植物的野生種群中發現一株罕見的純合突變株乙(种子为无色),其细胞内缺乏D基因(该基因控制无色物质转变为白色物质的过程)。请利用植物甲和乙为实验材料,验证A、B、D基因的遗传均为自由组合定律,写出实验思路和预期结果。实验思

王进俱设体现了基因通过——，进而控制生物体的性状。根据题意分析，你认为假設

假設一 假設二



(2) 科学家对A、B基因控制色素合成的途径做出了以下两种假设：

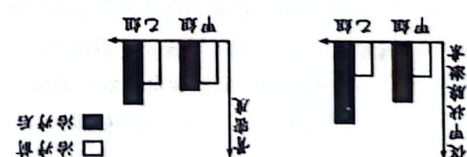
某二倍体综合植物的种子为白色。为改变种子的颜色，研究人员认为一个A基因（控制蛋白质合成）和一个B基因（控制酶的质合成为）同时转入该植物细胞的染色体上并获得转基因质合成功，甲自交获得的F₁中紫色：蓝色=9：3：4。回答下列问题：

52. (12 分)

(3)根据实验结果分析,与甲组相比,乙组治疗效果明显更好,判断依据是_____。

(2)甲组给予甲状腺激素治疗后,与治疗前相比,血浆中甲状腺激素的含量降低,原因可能是——。图中显示,治疗后促甲状腺激素含量乙组比甲组更高,原因可能是——。

— 3 —



二。回文詩題：

